

第10章

优先级队列

[10-1] a) 试按照代码 10.1 中的 ADT 接口,分别基于无序、有序列表和无序、有序向量实现优先级队列;

【解答】

请读者利用此前各章实现的列表及向量等数据结构,独立完成编码和调试任务。

b) 你所实现操作接口的时间复杂度各是多少?

【解答】

请读者针对自己的实现方式,给出对应的分析和结论。

c) 基于这些结构,可否使 getMax()接口的效率达到 $O(1)$,同时 delMax()和 insert()接口的效率达到 $O(\log n)$?

【解答】

列表和向量只能提供基本的数据操作,难以简明地直接同时兼顾以上接口的高效率。

有趣的是,只要采用教材10.2节的方法,将利用向量维护一个逻辑上的完全二叉堆,即可高效地同时支持以上操作接口。

[10-2] 基于向量实现完全二叉堆时,也可在向量中将各节点顺次后移一个单元,并在腾出的首单元中置入对应元素类型的最大值作为哨兵(比如,对于整型可取 INT_MAX)。如此,虽然多使用了一个单元,但在上滤过程中只需比较父子节点的大小,而无需核对是否已经越界。

a) 经如此转换之后,父子节点各自在物理上所对应的秩之间的换算关系,应如何调整?

【解答】

只需在教材10.2.1节所给方法的基础上,略作调整。

具体地,若节点 v 的编号(秩)记作 $i(v)$,则根节点及其后代节点的编号分别为:

```
i(root) = 1
i(lchild(root)) = 2
i(rchild(root)) = 3
i(lchild(lchild(root))) = 4
...
```

一般地有:

```
1) 若节点v有左孩子,则i(lchild(v)) = 2·i(v);
2) 若节点v有右孩子,则i(rchild(v)) = 2·i(v) + 1;
3) 若节点v有父节点,则i(parent(v)) = ⌊i(v)/2⌋ = ⌈((i(v) - 1)/2)⌉
```

b) 试在本章对应代码的基础上略作修改，实现上述改进；

【解答】

请读者根据以上介绍和提示，独立完成编码及调试任务。

c) 如此改进之后，insert()和 delMax()操作的时间复杂度有何变化？总体效率呢？

【解答】

如此调整之后，上滤的过程无需核对是否已经越界，因此可以在一定程度上提高插入操作的效率，但渐进时间复杂度依然保持为 $O(\log n)$ 。当然，以上调整对下滤的过程及效率没有影响。

d) 对于不易甚至无法定义最大值的元素类型（比如长度任意的字符串），以上技巧是否依然适用？

【解答】

不再适用。

[10-3] 如教材代码 10.7、代码 10.9 实现的 percolateUp、percolateDown 算法中，若实际上升或下降 $k = O(\log n)$ 层，则 k 次 swap() 操作共需 $3k$ 次赋值。

试改进以上实现，将此类赋值操作降至 $k + 1$ 次。

【解答】

在插入接口的上滤过程中，新元素可暂且不予插入，而只是将其上若干代祖先节点依次下移；待所有祖先均已就位之后，才将新元素置入腾出的空节点。删除接口的下滤过程，与此同理。

请读者按照以上提示，独立完成编码和调试任务。

[10-4] a) 试证明，在从堆顶通往任一叶节点的沿途上，各节点对应的关键码必然单调变化；

【解答】

由堆序性，显然。

b) 试给出一个算法，对于秩为 r 的任一节点，在 $O(1)$ 时间内确定其在任何高度 h 上祖先的秩；

【解答】

考查基于向量实现的任一完全二叉堆。

我们注意到，其中祖先与后代节点的秩之间存在某种关联关系。具体地，只需令各节点的秩统一地递增一个单位，则从秩的二进制表示的角度来看，祖先必是后代的前缀。

以如教材287页图10.2所示的完全二叉堆为例，考查其中节点18所对应的查找路径，沿途各节点的秩依次为：

统一递增之后，依次为：

对应的二进制表示依次为：

0,	1,	3,	8,	18
1,	2,	4,	9,	19
1,	10,	100,	1001,	10011

位数依次递增。而且更重要的是，相邻的每一对中，前者总是后者的前缀。

因此，对于任何秩为 r 的元素，其上溯第 h 代祖先（若存在）所对应的秩必然为：

$$(r + 1) \gg h - 1$$

c) 试改进 percolateUp 算法 (代码 10.7), 将其中执行的关键码比较减少至 $O(\log \log n)$ 次;

【解答】

利用b)所指出的特性, 在引入新节点但尚未上滤调整之前, 可以将该节点对应的查找路径视作一个静态查询表, 并使用二分查找算法。

具体地, 每次都可在 $O(1)$ 时间内确定高度居中的祖先的秩; 将其当作轴点, 只需再做 $O(1)$ 次比较, 即可将查找范围缩小一半。如此反复迭代, 直至查找范围内仅剩单个节点。

既然完全二叉堆的高度 $h = O(\log n)$, 故整个查找过程的迭代 (比较操作) 次数将不超过:

$$\log h = O(\log \log n)$$

请注意, 因为任一节点通往其后代的路径并不唯一, 故这一技巧并不适用于下滤操作。

d) 经过以上改进, percolateUp 算法总体的渐进复杂度是否有所优化?

【解答】

以上方法固然可以有效地减少词条的比较操作, 但词条交换操作却不能减少。事实上无论如何, 在最坏情况下, 依然需要执行 $O(h) = O(\log n)$ 次交换操作。

由此可见, percolateUp 算法总体的渐进复杂度将保持不变。

e) 试通过实验确定, 只有在完全二叉堆达到多大规模之后, 以上改进才能实际地体现出效果。

【解答】

请读者独立完成编码和调试工作, 并根据实测结果给出分析和结论。

需要指出的是, 对于通常的应用问题规模 n 而言, $\log n$ 与 $\log \log n$ 均已十分接近于常数, 二者之间的差异并不明显。

以 $n = 2^{32} = 4 \times 10^9$ 为例, 有:

$$\log_2 n = 32$$

$$\log_2(\log_2 n) = 5$$

若再综合考虑到以上方法针对秩所额外引入的计算量, 实际性能的差异将更不明显。

[10-5] 在摘除原堆顶元素后, 为恢复堆的结构性, 为何采用如教材 292 页代码 10.9 所示的 percolateDown() 算法, 而不是自上而下地, 依次以更大的孩子节点顶替空缺的父节点?

【解答】

若仅就堆序性而言, 这种调整方式并非不可行。

然而遗憾的是, 经如此调整之后二叉堆的拓扑结构, 未必依然是一棵完全二叉树, 故其结构性将可能遭到破坏。

以如教材292页图10.6之a)所示的大顶堆为例, 不难验证, 在摘除堆顶元素 (5) 之后, 若采用本题所建议的方法进行调整, 则所得二叉堆将不再是一棵完全二叉树。

[10-6] 针对如教材第 290 页代码 10.7 所示的 `percolateUp()` 上滤算法, 10.2.2 节曾指出其执行时间为 $O(\log n)$ 。然而, 这只是对其最坏情况的估计; 在通常的情况下, 实际的效率要远高于此。

试通过估算说明, 在关键码均匀独立分布时, 最坏情况极其罕见, 且插入操作平均仅需常数时间。

(提示: 参考文献[3])

【解答】

在此仅做一个粗略的估算。

根据堆的定义及调整规则, 若新节点 p 通过上滤升高了 k 层, 则意味着在 2^{k+1} 个随机节点 (p 的父亲、 p , 以及 p 的 $2^{k+1} - 2$ 个后代) 中, 该节点恰好是第二大者。

于是, 若将新节点累计上升的高度记作 H , 则 H 恰好为 k 的概率应为:

$$\Pr(H = k) = 1/2^{k+1} = (1/2)^k \cdot (1/2), \quad 0 \leq k$$

这是一个典型的几何分布 (geometric distribution), 其数学期望为:

$$E(H) = 1/(1/2) - 1 = 1$$

也就是说, 每个节点经上滤后平均大致上升 1 层, 其间平均需做 $1 + 1 = 2$ 次比较操作。

[10-7] Floyd 建堆算法中, 同层内部节点下滤的次序

a) 对建堆结果有无影响? 若无影响, 试说明原因; 否则, 试举一实例。

【解答】

没有影响。

同层节点的下滤, 仅涉及到其各自的后代, 它们之间完全相互独立, 故改变次序不致影响最终的结果。

b) 对建堆所需时间有无影响? 若无影响, 试说明原因; 否则, 试举一实例。

【解答】

也没有影响。

每个节点的下滤过程完全不变, 所需时间不变, 建堆所需的总体时间亦不变。

[10-8] 借助优先级队列高效的标准接口, 教材 285 页代码 10.2 中的 `generateTree()` 算法即可简明地在 $O(n \log n)$ 时间内构造出 n 个字符的 Huffman 编码树。然而, 这还不足以说明这一实现已属最优。

试证明, 任何 CBA 式 Huffman 树构造算法, 在最坏情况下都需要运行 $\Omega(n \log n)$ 的时间。

【解答】

只需建立一个从排序问题, 到 Huffman 编码问题的线性归约 (习题[2-12])。

事实上, 对于每一个待排序的输入序列, 我们都将其视作一组字符的出现频率。不失一般性, 这里可以假设每个元素均非负——否则, 可以在 $O(n)$ 时间内令它们增加同一足够大的正数。

以下, 以这组频率作为输入, 可以调用任何 CBA 式算法构造出 Huffman 编码树。而一旦得到这样一棵编码树, 只需一趟层次遍历, 即可在 $O(n)$ 的时间内得到所有 (叶) 节点的遍历序列。

根据 Huffman 树的定义, 该序列必然是单调的。因此, 整个过程也等效于同时完成了对原输入序列的排序。

[10-9] 在附加某些特定条件之后,问题的难度往往会有实质的下降。比如,若待编码字符集已按出现频率排序,则 Huffman 编码可以更快完成。在编码过程中,始终将森林 \mathcal{F} 中的树分为两类:单节点(尚未参与合并)和多节点(已合并过)。每经过一次迭代,后者虽不见得增多,但必然有一个新成员。

a) 试证明,在后一类树中,新成员的权重(频率)总是最大;

【解答】

根据 Huffman 编码算法的原理,每次迭代都是在当前森林中选取权重最小的两棵树做合并。因此,被选出的树的权重必然单调非降,故在当前所有(经合成生成的)多节点树中,最新者的权重必然最大。

b) 试利用以上性质设计一个算法,在 $O(n)$ 时间内完成 Huffman 编码。

【解答】

将如上定义的两类节点,按权重次序组织为两个队列。初始状态如图 x10.1(a) 所示,所有字符都按照权重非降的次序,存入单节点树的队列(左);而多节点树的队列(右),直接置空。此后的过程与常规的 Huffman 编码算法类似,也是反复地取出权重最小的两棵树,将其合并后插回森林。直至最后只剩一棵树。

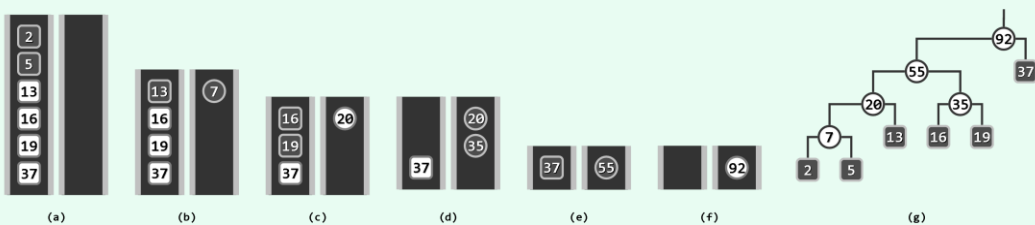


图 x10.1 字符权重已排序时,可在线性时间内构造出 Huffman 编码树

这里与常规算法的本质不同,共有两点。首先,每次只需考查两个队列各自最前端的两棵树。也就是说,每次只需检查不超过四棵树,即可在 $O(1)$ 的时间内挑选出整个森林中权重最小的两棵树。另外,这两棵树合并之后,直接作为末元素插入多节点树的队列。根据 a) 的分析结论,这样依然可以保持该队列的单调性。

作为一个完整的实例,图 x10.1(b~f) 针对权重集 $\{2, 5, 13, 16, 19, 37\}$, 依次给出了算法各步迭代之后,两个队列的具体组成。最终构造出的 Huffman 编码树,如图(g)所示。

[10-10] 试利用本章所介绍的各种堆结构,与如代码 10.2 (教材 285 页) 所示的 Huffman 树统一构造算法 `generateTree()` 一起编译、链接、执行,并就其性能做一统计、对比和分析。

【解答】

请读者独立完成编码和调试任务,并通过实际测量给出分析结论。

[10-11] 与 AVL 树需要借助 `bf` 记录类似,左式堆也需要设置 `np1` 记录。然而在实际应用中,这一点既不自然,也影响代码开发与转换的效率。实际上,仿照由 AVL 树引出伸展树的思路,可以在保留左式堆优点的前提下消除 `np1` 记录,新的结构称作斜堆 (skew heap)。

当然，与伸展树一样，斜堆各接口的时间复杂度也需要从分摊的角度加以分析和理解。

试搜集和阅读相关材料，并实现斜堆结构。

【解答】

请读者查阅相关资料，并独立完成编码和调试任务。

[10-12] 某些应用可能要求堆结构提供更多接口，比如提升或降低堆中任一指定词条的优先级。尽管此类调整并不影响堆的结构性，但往往会破坏堆序性，故也需要及时调整并使之恢复为合法的堆结构。试设计一个算法，在任一词条改变优先级后，尽快地恢复全局的堆序性。

（提示：借助上滤和下滤）

【解答】

根据词条优先级的变化方向，相应地套用已有的算法进行调整，以尽快恢复堆序性。

具体地，若优先级增加，则可仿照`percolateUp()`算法（教材290页代码10.7），对其做上滤调整；反之若优先级降低，则可仿照`percolateDown()`算法（教材292页代码10.9），对其做下滤调整。

请读者根据以上介绍和提示，独立完成新接口的定义、编码和调试任务。

[10-13] 在本章所给的左式堆模板类中（教材 298 页代码 10.12），建堆操作仅实现了蛮力的 $O(n \log n)$ 算法。试采用 Floyd 建堆算法，将这一操作的效率改进至 $O(n)$ 。

【解答】

请读者仿照`heapify()`算法（教材294页代码10.10），独立完成编码和调试任务。

[10-14] 教材 10.2.5 节实现的就地堆排序是稳定的吗？若是，请给出证明；否则，试举一实例。

【解答】

不是稳定的。

在反复摘除堆顶并将末词条转移至堆顶，然后做下滤的过程中，雷同词条之间的相对次序不再保持，故它们在最终所得排序序列中必然是“随机”排列的。

作为一个实例，不妨仿照教材296页的图10.10，考查对堆：

{ 5, 4, 1a, 1b, 1c }

的排序。不难验证，最终所得的排序结果为：

{ 1c, 1a, 1b, 4, 5 }

实际上更糟糕的是，以上“随机性”是堆排序算法固有的不足，难以通过该算法自身的调整予以改进。当然，这一问题也并非不能解决——比如，读者不妨参考136页习题[6-24]中介绍的合成数（composite number）法，给出一种解决的办法。

[10-15] 如教材 302 页代码 10.13 所示的左式堆合并算法，采用了递归模式。尽管如此已足以保证合并操作的渐进时间复杂度为 $O(\log n)$ ，但为进一步提高实际运行效率，试将该算法改写为迭代模式。

【解答】

请读者参照递归算法转换为迭代版本的一般性模式和方法，独立完成编码和调试任务。

[10-16] 若能注意到教材 6.11.5 节 Prim 算法中定义的“优先级数”恰好对应于优先级队列中元素的优先级, 即可利用本章介绍的优先级队列, 改进如教材 177 页代码 6.8 所示的 $O(n^2)$ 版本。

具体地, 可首先花费 $O(n)$ 时间, 将起点 s 与其余顶点之间的 $n - 1$ 条边组织为一个优先级队列 H 。此后的每一步迭代中, 只需 $O(\log n)$ 时间即可从 H 中取出优先级数最小的边 (最短桥), 并将对应的顶点转入最小支撑树中。不过, 随后为了高效地对 H 中与刚转出顶点相关联的每一条边做松弛优化, 需要增加一个 $\text{decrease}(e)$ 接口, 在边 e 的优先级数减少后将 H 重新调整成一个堆。

a) 参照如代码 10.7 所示的 $\text{percolateUp}()$ 上滤算法为堆结构增加 $\text{decrease}()$ 接口, 要求运行时间不超过 $O(\log n)$;

【解答】

这类 $\text{decrease}()$ 接口的工作原理, 可参见习题 [10-12]。

请读者根据以上介绍和提示, 独立完成编码和调试任务。

b) 试证明, 如此改进之后 Prim 算法的效率为 $O((n + e)\log n)$, 非常适用于稀疏图;

【解答】

按照该算法, 取出每个顶点需要 $O(\log n)$ 时间, 累计 $O(n\log n)$ 时间。

所有顶点的所有邻接顶点的松弛, 在最坏情况下累计需要 $O(e\log n)$ 时间。

两项合计, 即得题中结论。

c) 这种改进策略是否也适用于 Dijkstra 算法?

【解答】

同样适用, 只需改用 Dijkstra 算法的优先级更新规则。

事实上, 推而广之, 这种改进策略适用于任何基于优先级搜索 (PFS) 策略的算法。

[10-17] 在二叉堆 (d-heap) 中, 每个节点至多可拥有 $d \geq 3$ 个孩子, 且其优先级不低于任一孩子。

a) 试证明, 二叉堆 $\text{decrease}()$ 接口的效率可改进至 $O(\log_d n)$;

(当然, $\text{delMax}()$ 接口的效率因此会降至 $O(d \cdot \log n)$)

【解答】

如图 x10.2 所示, 我们依然可以仿照二叉堆的方式实现二叉堆。

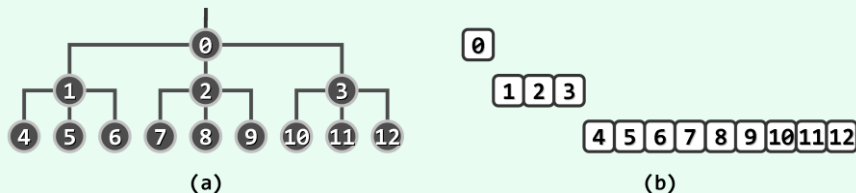


图 x10.2 三叉堆: (a) 逻辑结构及 (b) 物理结构

具体地, 将所有元素组织为一个向量, 且对于任意秩为 $k > 0$ 的元素, 其父亲对应的秩为:

$$\text{parent}(k) = \lfloor (k - 1)/d \rfloor$$

比如在图 x10.2 所示的三叉堆中, 8 号元素的父亲对应的秩为:

$$\text{parent}(8) = \lfloor (8 - 1)/3 \rfloor = 2$$

反过来, 对于任意秩为 $k < \lceil (n - 1)/d \rceil$ 的元素, 其第 i 个孩子 (若存在) 对应的秩为:

$$\text{child}(k, i) = k \cdot d + i, \quad (i = 1, 2, \dots, d)$$

当然, 当 d 不再是 2 的幂时, 将不再能够借助移位运算来加速秩的换算。不过反过来, 在计算效率并不主要依赖于秩换算效率的场合 (比如数据规模大到跨越存储层次, 涉及一定量的 I/O 操作时), 这种推广完全行之有效。

按照以上实现方式, 对于规模为 n 的 d 叉堆而言, 高度应为:

$$\lceil \log_d(n \cdot (d - 1) + 1) \rceil - 1 = \mathcal{O}(\log_d n)$$

如此, 在上滤过程中的每一步, 只需将当前节点与其父节点做一次比较, 因此整个上滤操作总体的耗时量不过:

$$\mathcal{O}(\log_d n)$$

与此同时, 在下滤过程中的每一步, 却需要遍历当前节点及其 d 个孩子, 方可确定是否继续下降一层, 以及向那个分支下降一层。相应地, 总体耗时量为:

$$\mathcal{O}(d) \cdot \mathcal{O}(\log_d n) = \mathcal{O}(d \cdot \log_d n)$$

多叉堆中上滤操作与下滤操作之间的如上差异, 既细微亦关键。请特别留意体会。

b) 试证明, 若取 $d = e/n + 2$, 则基于 d 叉堆实现的 Prim 算法的时间复杂度可降至 $\mathcal{O}(e \cdot \log_d n)$;

【解答】

根据以上分析, 使用基于 d 叉堆的 Prim 算法, 总体时间复杂度应为:

$$n \cdot d \cdot \log_d n + e \cdot \log_d n = (n \cdot d + e) \cdot \log_d n$$

特别地, 当取:

$$d = e/n + 2$$

时, 总体的渐进性能将达到渐进最优的:

$$\mathcal{O}(e \cdot \log_d n) = \mathcal{O}(e \cdot \log_{(e/n + 2)} n)$$

c) 这种改进策略是否也适用于 Dijkstra 算法?

【解答】

实际上, 在基于优先级搜索 (PFS) 策略的图算法中, 只要各节点优先级的更新方向总是单调非降 (相应地, 优先级数总是单调非升), 则堆结构的上滤、下滤操作必然各自累计需要执行 $\mathcal{O}(e)$ 次、 $\mathcal{O}(n)$ 次。

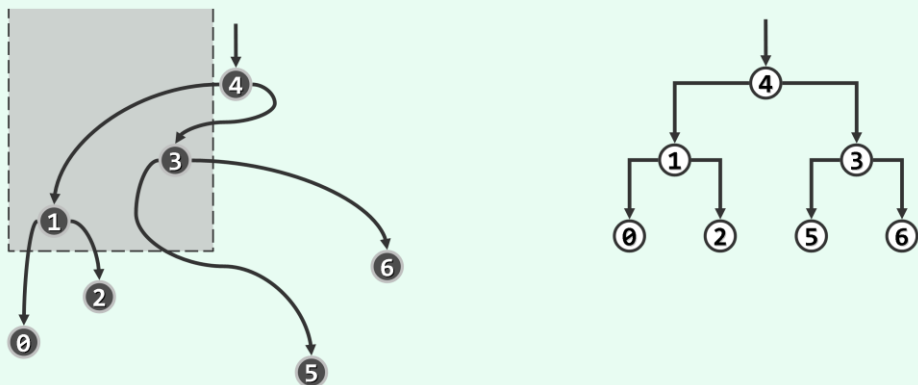
在通常情况下, 前者相对于后者都要更多 (甚至非常多), 故以上技巧及其性能分析的过程和结论, 亦将完全适用。

在 Dijkstra 算法中, 各节点优先级的更新方向也是单调非降的, 故亦适用以上策略。

[10-18] 所谓半无穷范围查询 (semi-infinite range query), 是教材 8.4 节中所介绍一般性范围查询的特例。具体地, 这里的查询区域是某一侧无界的广义矩形区域, 比如 $R = [-1, +1] \times [0, +\infty)$,

即是对称地包含正半 y 坐标轴、宽度为 2 的一个广义矩形区域。当然，对查询的语义功能要求依然不变——从某一相对固定的点集中，找出落在任意指定区域 R 内部的所有点。

范围树（176 页习题[8-20]）稍作调整之后，固然也可支持半无穷范围查询，但若能针对这一特定问题所固有的性质，改用优先级搜索树（priority search tree, PST）^①之类的数据结构，则不仅可以保持 $O(r + \log n)$ 的最优时间效率，而且更重要的是，可以将空间复杂度从范围树的 $O(n \log n)$ 优化至 $O(n)$ 。



图x10.3 优先级搜索树

如图 x10.3 所示，优先级搜索树除了首先在拓扑上应是一棵二叉树，还需同时遵守以下三条规则。

- ① 首先，各节点的 y 坐标均不小于其左、右孩子（如果存在）——因此，整体上可以视为以 y 坐标为优先级的二叉堆
- ② 此外，相对于任一父节点，左子树中节点的 x 坐标均不得大于右子树中的节点
- ③ 最后，互为兄弟的每一对左、右子树，在规模上相差不得超过一^②

a) 试按照以上描述，用 C/C++ 定义并实现优先级搜索树结构；

【解答】

请读者根据以上介绍及提示，独立完成编码和调试任务。

b) 试设计一个算法，在 $O(n \log n)$ 时间内将平面上的 n 个点组织为一棵优先级搜索树；

【解答】

首先，不妨按照 x 坐标对所有的点排序。然后，根据如上定义，可以递归地将这些点组织为一棵优先级搜索树。

具体地，为构造任一点集对应的子树，只需花费 $O(n)$ 时间从中找出最高（ y 坐标最大）者，并将其作为子树树根。以下，借助 x 坐标的排序序列，可以在 $O(1)$ 时间内将剩余的 $n - 1$ 个点均衡地划分为在空间上分列于左、右的两个子集——二者各自对应的子树，可以通过递归构造。

如此，构造全树所需的时间不超过：

^① 由 E. M. McCreight 于 1985 年发明^[59]

^② 若无需遵守最后一条规则，则可保证所有节点能够以 x 坐标为序组成一棵（未必平衡的）二叉搜索树。此时，该结构兼具二叉搜索树和堆的操作特性，故亦称作树堆（treap）。treap 一词，源自 tree 和 heap 的组合

$$T(n) = 2 \cdot T(n/2) + O(n) = O(n \log n)$$

c) 试设计一个算法, 利用已创建的优先级搜索树, 在 $O(r + \log n)$ 时间内完成每次半无穷范围查询, 其中 r 为实际命中并被报告的点数。

【解答】

查询算法的过程, 可大致地递归描述如算法x10.1所示。

```

1 queryPST( PSTNode v, SemiInfRange R ) { //R = [x1, x2] × [y, +∞)
2   if ( ! v || R.y < v.y ) return; //y-pruning
3   if ( R.x1 < v.x && v.x < R.x2 ) output(v); //hit
4   if ( R.x1 < v.xm ) queryPST( v.lc, R ); //recursion & x-pruning
5   if ( v.xm <= R.x2 ) queryPST( v.rc, R ); //recursion & x-pruning
6 }
```

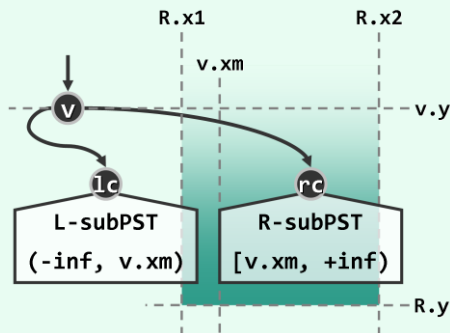
算法x10.1 基于优先级搜索树的半无穷范围查询算法

首先, 根据 y 坐标, 判断当前子树根节点 v (及其后代) 是否已经落在查询范围 R 之外。若是, 则可立即在此处返回, 不再深入递归——亦即纵向剪枝; 否则, 才需要继续深入查找。

以下, 再检查根节点 v 的 x 坐标, 若落在查询范围之内, 则需报告该节点。

最后, 若在节点 v 处的横向切分位置为 xm , 则通过将其与 R 的左 (x_1)、右 (x_2) 边界相比较, 即可确认是否有必要继续沿对应的子树分支, 继续递归搜索——亦即横向剪枝。

具体地如图x10.4所示, 唯有当 $R.x_1$ 位于 $v.xm$ 左侧时, 才有必要对左子树 $v.lc$ 做递归搜索; 唯有当 $R.x_2$ 不位于 $v.xm$ 左侧时, 才有必要对右子树 $v.rc$ 做递归搜索。



图x10.4 基于优先级搜索树的半无穷范围查询算法

A) 被访问, 且被报告出来

——也就是说, v 落在 R 之内 ($x_1 \leq a \leq x_2$ 且 $y \leq b$)。此类节点恰有 r 个。

B) 虽被访问, 却未予报告

——因其 x 坐标落在 R 之外 ($a < x_1$ 或 $x_2 < a$) 而横向剪枝, 不再深入递归。此类节点在每一层上至多只有两个, 总数不超过 $O(2 \cdot \log n)$ 。

C) 虽被访问, 却未予报告

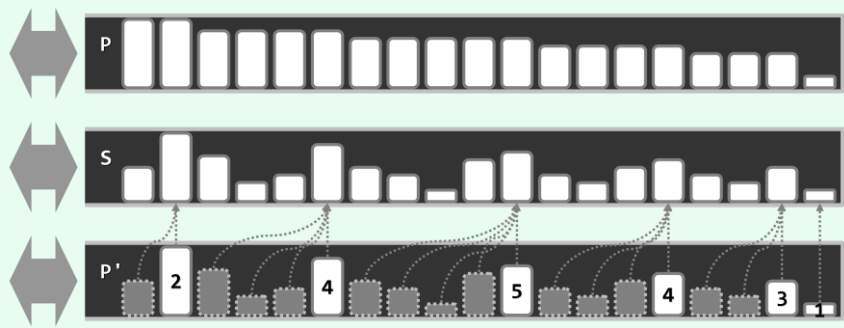
——尽管其 x 坐标落在 R 之内 ($x_1 \leq a \leq x_2$), 但因其 y 坐标却未落在 R 之内 ($b < y$) 而纵向剪枝, 也不深入递归。实际上, 此类节点的父节点, 必然属于A或B类, 其总数不超过这两类节点总数的两倍。

综合以上分析可知，以上queryPST()算法的渐进时间复杂度不超过 $O(r + \lg n)$ 。

[10-19] 试为第 4 章栈结构增加 Stack::getMax()接口，以在 $O(1)$ 时间内定位并读取栈中的最大元素。
要求 Stack::push()和 Stack::pop()等接口的复杂度依然保持为 $O(1)$ 。

【解答】

如图x6.5所示，对于任何一个栈S，可以引入另一个与之孪生的“镜像”栈P。



图x10.5 高效支持getMax()接口的栈

具体地，P中的元素与S中的元素始终保持一一对应，前者的取值，恰好就是后者所有前驱中的最大者。当然，P中元素因此也必然按照单调非降的次序排列。如此，任何时刻栈P的顶元素，都是栈S中的最大元素。

为保持二者如上的对应关系，它们的push()和pop()操作必须同步进行。若执行：

```
S.pop();
```

则只需同步地执行：

```
P.pop();
```

而若执行：

```
S.push( e );
```

则需要同步地执行：

```
P.push( max( e, P.top() ) );
```

以上方案还可以进一步地优化。

仍如图x6.5所示，可将栈P“压缩”为栈P'。为此，需要注意到，P中相等的元素必然彼此相邻，并因此可以分为若干组。若假想式地令栈P中的每个元素通过指针指向栈S中对应的元素，而不是保留后者的副本，则可以将P中的同组元素合并起来，共享一个指针。当然，同时还需为合并后的元素增设一个计数器，记录原先同组元素的总数。

如此改进之后的“镜像”结构，如图中的栈P'所示：每一组元素只需保留一份（白色），其余元素（灰色）则不必继续保存。这样，附加空间的使用量可以大为降低。

相应地，在栈S每次执行出栈操作时，栈P (P') 必须同步地执行：

```
if ( ! ( -- P.top().counter ) ) P.pop();
```

而在栈S每次执行入栈操作时，栈P (P') 也必须同步地执行：

```
P.top() < e ? P.push( e ), P.top().counter = 1 : P.top().counter ++;
```

可见，S的push()和pop()接口，依然保持 $O(1)$ 的时间效率。

请读者根据以上介绍和提示，独立完成编码和调试任务。

[10-20] 试为第4章的队列结构增加 Queue::getMax()接口，在 $O(1)$ 时间内定位并读取其中最大元素。要求 Queue::dequeue()接口的时间复杂度依然保持为 $O(1)$ ，Queue::enqueue()接口的时间复杂度不超过分摊的 $O(1)$ ^①。（提示：借助101页习题[4-22]中的双端队列结构 Deque）

【解答】

习题[10-19]针对栈结构的技巧，可以推广至队列结构。比如，可以引入一个双端队列P并依然约定，其中每个元素也是始终指向队列Q中所有其前驱中的最大者。

为保持二者的对应关系，它们的dequeue()和enqueue()操作也必须同步进行。若执行：

```
Q.dequeue();
```

则只需同步地执行：

```
P.removeFront();
```

而若执行：

```
Q.enqueue(e);
```

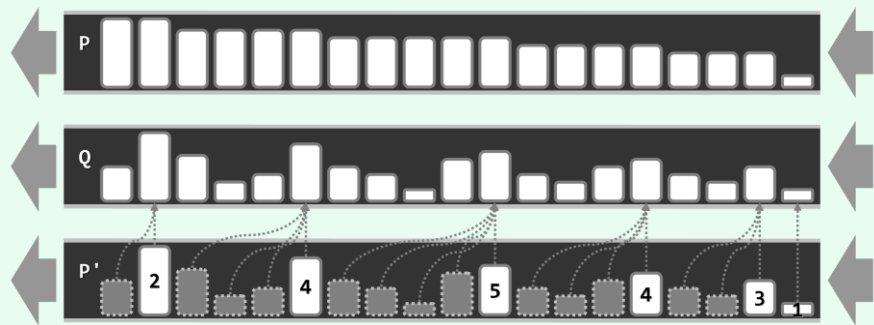
则只需同步地执行：

```
P.insertRear(e);
for (x = P.rear(); x & (x.key <= e); x = x.pred) //for each rear element x no greater than e
    x.key = e; //update its maximum record
```

也就是说，除了首先也令e加入队列P，而且还需要将P尾部所有不大于e的元素，统一更新为e。很遗憾，在最坏情况下这需要 $\Omega(n)$ 时间。而且更糟糕的是，这种情况可能持续发生（读者不妨独立构造出这样的一个实例）。

造成这一困难的原因在于，队列中任一元素的前驱集，不再如在栈中那样是固定的，而是可能增加，甚至新增的元素非常大。为此，可按照如图x10.6所示的思路进一步改进。

^① 经如此拓展之后，这一结构同时兼具队列和堆的操作特性，故亦称作队堆（queap）
queap一词，源自queue和heap的组合



图x10.6 高效支持getMax()接口的队列

具体地，可首先仿照习题[10-19]的改进技巧，通过合并相邻的同组元素，将队列P压缩为队列P'。然后，在队列Q每次执行出队操作时，队列P（P'）必须同步地执行：

```
if (!(-- P.front().counter)) P.removeFront();
```

而在栈S每次执行入栈操作时，栈P（P'）也必须同步地执行：

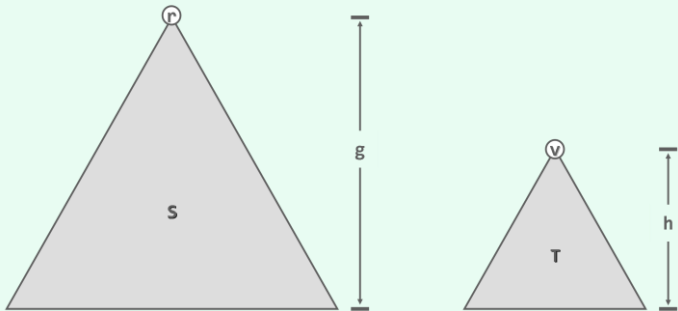
```
a = 1; //counter accumulator
while (!P.empty() && (P.rear().key <= e) //while the rear element is no greater than e
    a += P.removeRear().counter; //accumulate its counter before removing it
P.insertRear(e); P.rear().counter = a;
```

这里的while循环，在最坏情况下仍然需要迭代 $O(n)$ 步，但因为参与迭代的元素必然随即被删除，故就分摊意义而言仅为 $O(1)$ 步，时间性能大为改善。

另外，这里的队列P'并不需要具备双端队列的所有功能。实际上，它仅使用了Deque结构的removeFront()、insertRear()和removeRear()接口，而无需使用insertFront()接口——因此形象地说，它只不过是一个“1.5”端队列。

[10-21] 任给高度分别为 g 和 h 的两棵 AVL 树 S 和 T ，且 S 中的节点均不大于 T 中的节点。试设计一个算法，在 $O(\max(g, h))$ 时间内将它们合并为一棵 AVL 树。

【解答】

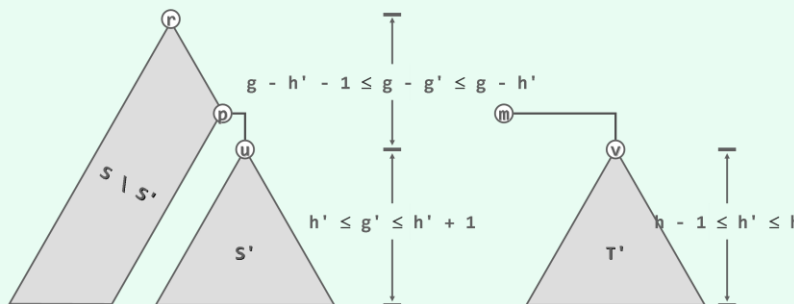


图x10.7 合并AVL树S和T：不妨假定 $g \geq h$

首先如图x10.7所示，不失一般性地，假定S的高度不低于T——否则，以下算法完全对称。

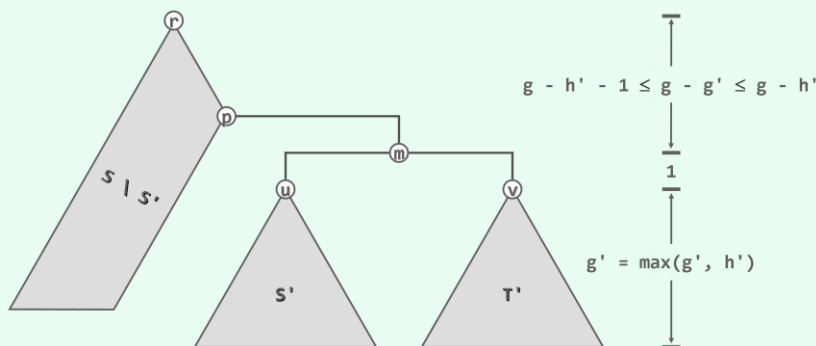
设 m 为 T 中的最小节点。若将 m 从 T 中摘出,则如图x10.8所示,新得到的AVL树 T' 的高度 h' 必然不致增加,而且至多降低一层。

根据AVL树的定义,这里沿着起自根节点的任一通路每下降一层,节点的高度虽必然降低,但至多降低2。因此如图x10.8所示,沿着树 S 的最右侧通路,必然可以找到某个节点 u ,其高度不低于 h' ,而且至多比 T' 高一层。将子树 u 记作 S' 。



图x10.8 合并AVL树 S 和 T : 删除 T 中的最小节点 m ,在 S 的最右侧通路上找到与树 T' 高度接近的节点 u

于是接下来如图x10.9所示,只要以节点 m 为联接点,将 S' 和 T' 分别作为其左、右子树,即可拼接成为一棵AVL树。



图x10.9 合并AVL树 S 和 T : 以 m 为结合点合并 S' 和 T' ,在整体接入至 S

以下,将该AVL树作为子树,并在节点 u 原先的位置(作为节点 p 的右子树)接入至树 S 中。请注意,至此,全树中仅有节点 p 可能失衡。而且若此时节点 p 的确失衡,则其平衡因子必然为-2。也就是说,其效果完全等同于将 m 插入其中之后所造成的失衡。因此,只需从 p 出发逐层上溯,即可通过不超过 $O(g - g') = O(g - h)$ 次的旋转使全树恢复平衡。

再计入删除节点 m 所需的 $O(h)$ 时间,以及查找节点 u 所需的 $O(g - h)$ 时间,可见以上算法的总体时间复杂度为 $O(g) = O(\max(g, h))$ 。

特别地,若节点 m 已经从 T 中摘出,且节点 u 已知,则以上算法只需 $O(g - h)$ 时间,线性正比于两棵待合并树的高度之差。对于以下的习题[10-22],这一性质将至关重要。

[10-22] 任给高度为 h 的一棵 AVL 树 A ，以及一个关键码 e 。

试设计一个算法，在 $O(h)$ 时间内将 A 分裂为一对 AVL 树 S 和 T ，且 S 中的节点均小于 e ，而 T 中的节点均不小于 e 。（提示：借助 AVL 树的合并算法）

【解答】

以关键码 e 查找路径上的各节点为界，可以按照中序遍历次序将全树 A 划分为一系列的子树。

以如图 x10.10 所示的树 A 为例，若 e 的查找路径为：

$t_1, s_1, s_2, t_2, t_3, t_4, s_3, s_4, t_5, \dots$

则相应地划分出来的子树依次是：

$T_1, S_1, S_2, T_2, T_3, T_4, S_3, S_4, T_5, \dots$

不难看出，全树的中序遍历序列应是：

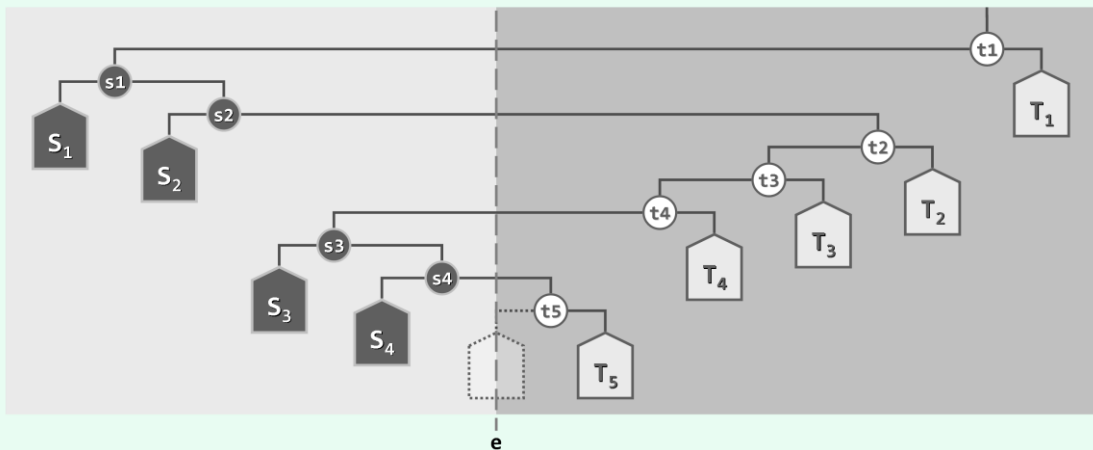
$[s_1, s_1]; [s_2, s_2]; [s_3, s_3]; [s_4, s_4]; \dots; [t_5, T_5]; [t_4, T_4]; [t_3, T_3]; [t_2, T_2]; [t_1, T_1]$

而分裂出的两棵 AVL 子树的中序遍历序列，则应该分别是：

$S = [s_1, s_1]; [s_2, s_2]; [s_3, s_3]; [s_4, s_4]; \dots$

$T = \dots; [t_5, T_5]; [t_4, T_4]; [t_3, T_3]; [t_2, T_2]; [t_1, T_1]$

因此，我们可以自底而上，通过反复的合并构造出 S 和 T 。



图x10.10 以任意关键为界，分裂AVL树（这里只是示意性地绘出了各子树，并未严格地反映其高度）

鉴于这两棵树完全对称，这里不妨仅以树 T 为例，介绍具体的合并过程。

一旦以 t_5 为根的 AVL 子树已经构造出来，我们即可以节点 t_4 为联接点，将其与 AVL 子树 T_4 合并，得到一棵更大的 AVL 树；接下来，再以节点 t_3 为联接点，进一步地将其与 AVL 子树 T_3 合并；然后，再以节点 t_2 为联接点，继续将新得到的 AVL 树与树 T_2 合并；最后，以节点 t_1 为联接点，将新得到的 AVL 树与树 T_1 合并。如此，最终即可得到所求的 AVL 树 T 。

这里涉及的 AVL 树合并计算，属于习题 [10-21] 所指出的特殊情况：作为联接点的节点 t_k ，均等效于已经从待合并子树中摘出，且接入位置已知。因此每次合并所需的时间，不超过被合并子树的高度之差。考虑到前后项的依次抵消效果，累计时间应渐进地不超过原树高度 $O(h)$ 。